

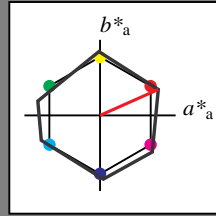
Siehe ähnliche Dateien: <http://www.ps.bam.de/UG67/>  
Technische Information: <http://www.ps.bam.de> Version 2.1, io=0,0

BAM-Registrierung: 20060101-UG67/10S/S67G00NP.PS/.PDF BAM-Material: Code=rhdata  
Anwendung für Beurteilung und Messung von Drucker- oder Monitorsystemen

## Eingabe: Farbmétrisches Reflexions-System NRS11

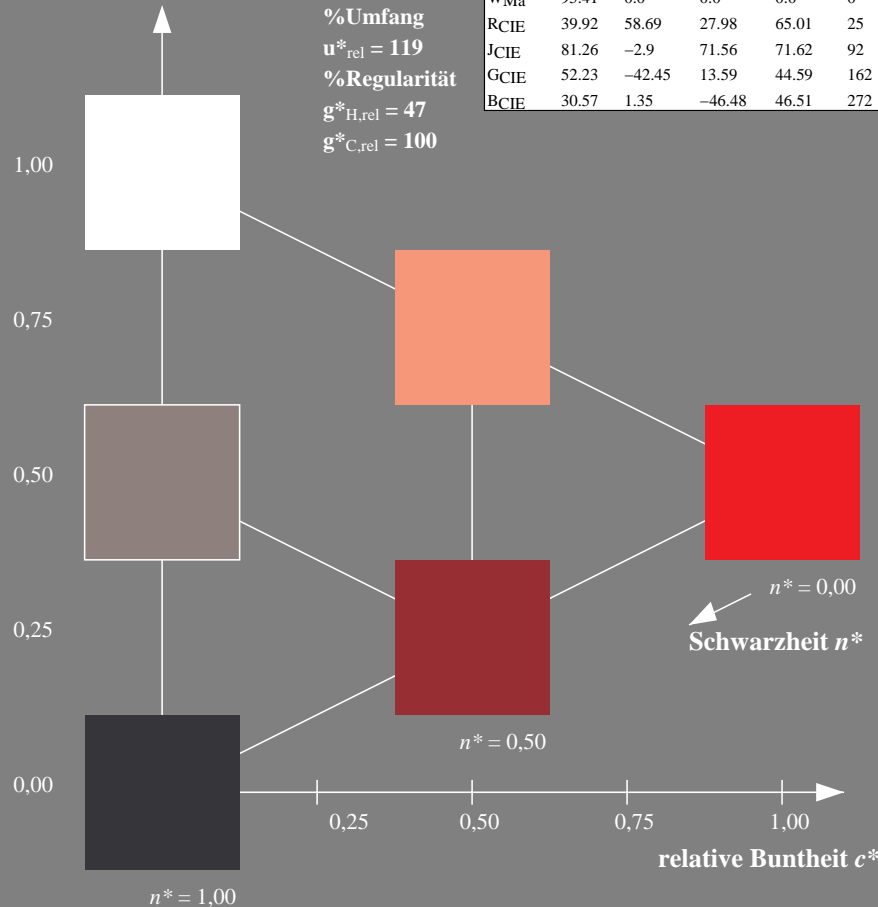
für Buntton  $h^* = lab^*h = 24/360 = 0.067$   
 $lab^*tch$  und  $lab^*nch$

**D65: Buntton R**  
**LCH\*Ma: 53 84 24**  
**rgb\*Ma: 1.0 0.0 0.0**



**%Umfang**  
 **$u^*_{\text{rel}} = 119$**   
**%Regularität**  
 **$g^*_{\text{H,rel}} = 47$**   
 **$g^*_{\text{C,rel}} = 100$**

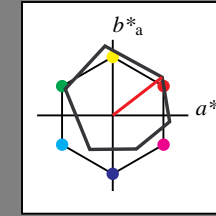
NRS11; adaptierte CIELAB-Daten					
	$L^* = L^*_a$	$a^*_a$	$b^*_a$	$C^*_{ab,a}$	$h^*_{ab,a}$
RMa	53.2	77.06	34.32	84.36	24
JMa	53.2	-1.51	84.38	84.39	91
GMa	53.2	-82.27	18.98	84.44	167
G50B <sub>Ma</sub>	53.2	-77.72	-32.98	84.44	203
B <sub>Ma</sub>	53.2	4.37	-84.28	84.41	273
B50R <sub>Ma</sub>	53.2	69.09	-48.41	84.37	325
N <sub>Ma</sub>	10.99	0.0	0.0	0.0	0
W <sub>Ma</sub>	95.41	0.0	0.0	0.0	0
RCIE	39.92	58.69	27.98	65.01	25
JCIE	81.26	-2.9	71.56	71.62	92
GCIE	52.23	-42.45	13.59	44.59	162
BCIE	30.57	1.35	-46.48	46.51	272



**Ausgabe: Farbmétrisches Reflexions-System ORS18**

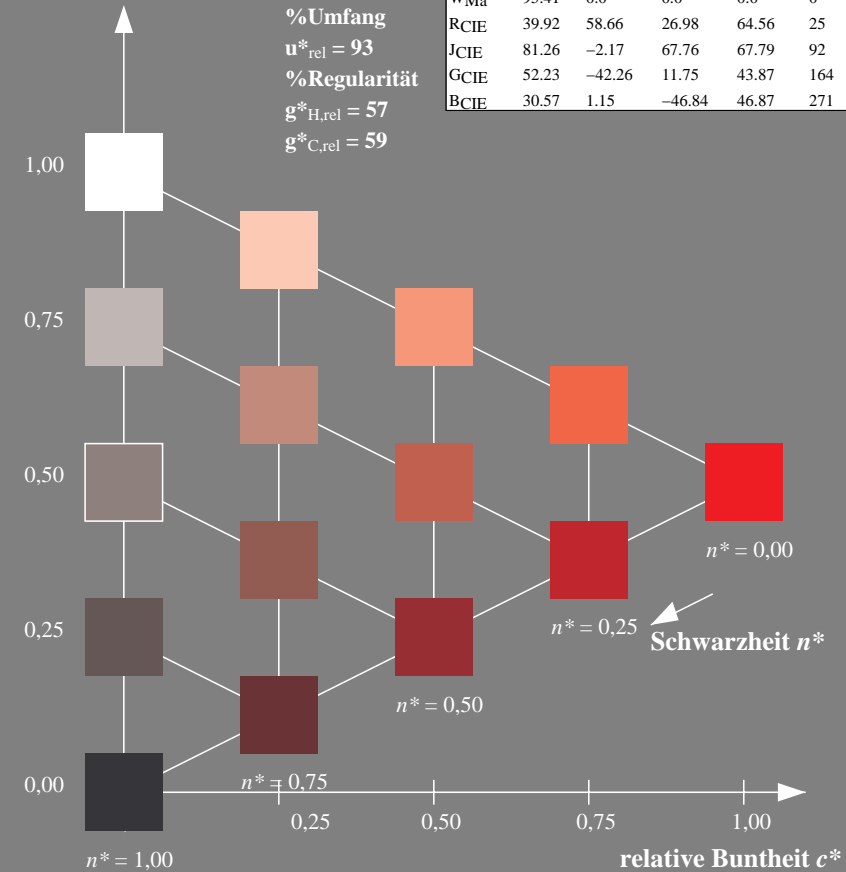
für Buntton $h^* = lab^*h = 38/360 = 0.105$	
$lab^*tch$ und $lab^*nch$	$h^*$

**D65: Buntton O**  
**LCH\*Ma: 48 83 38**  
**rgb\*Ma: 1.0 0.0 0.0**



**%Umfang**  
 **$u_{\text{rel}}^* = 93$**   
**%Regularität**  
 **$g_{\text{H,rel}}^* = 57$**   
 **$g_{\text{C,rel}}^* = 59$**

ORS18; adaptierte CIELAB-Daten						
	$L^*_a$	$L^*_a$	$a^*_a$	$b^*_a$	$C^*_{ab,a}$	$h^*_{ab,a}$
RMa	47.94	65.37	50.52	82.62	38	
JMa	90.37	-10.27	91.77	92.34	96	
GMa	50.9	-62.79	34.95	71.87	151	
G50B <sub>Ma</sub>	58.62	-30.35	-45.01	54.3	236	
B <sub>Ma</sub>	25.71	31.11	-44.42	54.24	305	
B50R <sub>Ma</sub>	48.13	75.27	-8.35	75.73	354	
N <sub>Ma</sub>	18.01	0.0	0.0	0.0	0	
W <sub>Ma</sub>	95.41	0.0	0.0	0.0	0	
RCIE	39.92	58.66	26.98	64.56	25	
JCIE	81.26	-2.17	67.76	67.79	92	
GCIE	52.23	-42.26	11.75	43.87	164	
BCIE	30.57	1.15	-46.84	46.87	271	



UG670-7, 3stufige Reihen für konstanten CIELAB Buntton  $24/360 = 0.067$  (links)

5stufige Reihen für konstanten CIELAB Buntton  $38/360 = 0.105$  (rechts)

BAM-Prüfvorlage UG67; Farbmeter-Systeme NRS11 & ÖRS18input: *cmy0\* setcmykcolor*

## D65: 3 und 5stufige Farbreihen für 10 Bunttöne

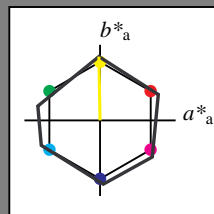
output: *no change compared to input*

### Eingabe: Farbmetrisches Reflexions-System NRS11

für Buntton  $h^* = lab^*h = 91/360 = 0.253$   
 $lab^*ich$  und  $lab^*nch$

D65: Buntton J  
LCH\*Ma: 53 84 91  
rgb\*Ma: 1.0 1.0 0.0

Dreiecks-Helligkeit  $t^*$



%Umfang  
 $u^*_{rel} = 119$   
%Regularität  
 $g^*_{H,rel} = 47$   
 $g^*_{C,rel} = 100$

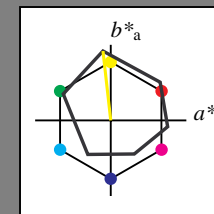
NRS11; adaptierte CIELAB-Daten					
	$L^*=L^*_a$	$a^*_a$	$b^*_a$	$C^*_{ab,a}$	$h^*_{ab,a}$
RMa	53.2	77.06	34.32	84.36	24
JMa	53.2	-1.51	84.38	84.39	91
GMa	53.2	-82.27	18.98	84.44	167
G50BMa	53.2	-77.72	-32.98	84.44	203
BMa	53.2	4.37	-84.28	84.41	273
B50RMa	53.2	69.09	-48.41	84.37	325
NMa	10.99	0.0	0.0	0.0	0
WMa	95.41	0.0	0.0	0.0	0
RCIE	39.92	58.69	27.98	65.01	25
JCIE	81.26	-2.9	71.56	71.62	92
GCIE	52.23	-42.45	13.59	44.59	162
BCIE	30.57	1.35	-46.48	46.51	272

### Ausgabe: Farbmetrisches Reflexions-System ORS18

für Buntton  $h^* = lab^*h = 96/360 = 0.268$   
 $lab^*ich$  und  $lab^*nch$

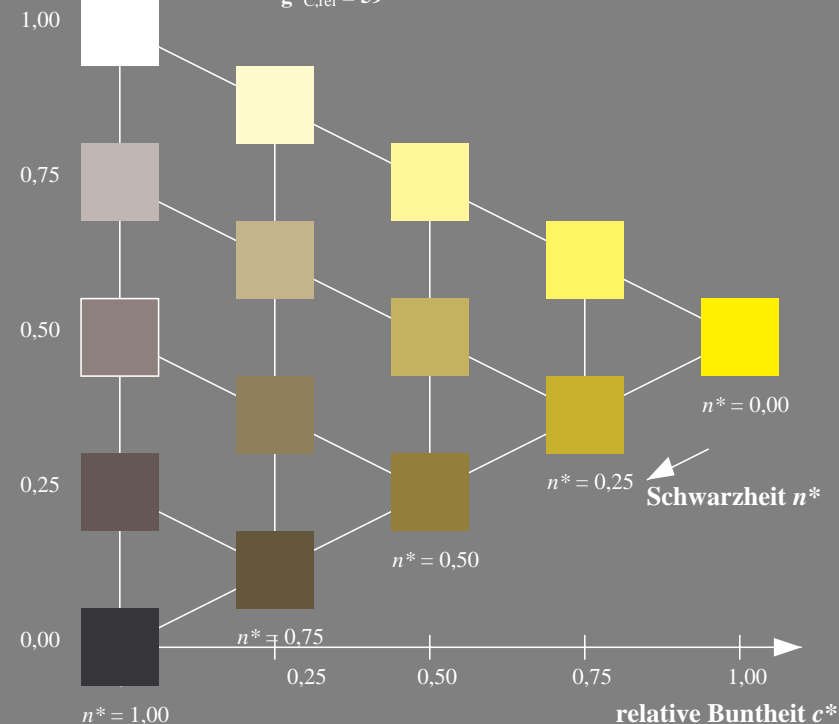
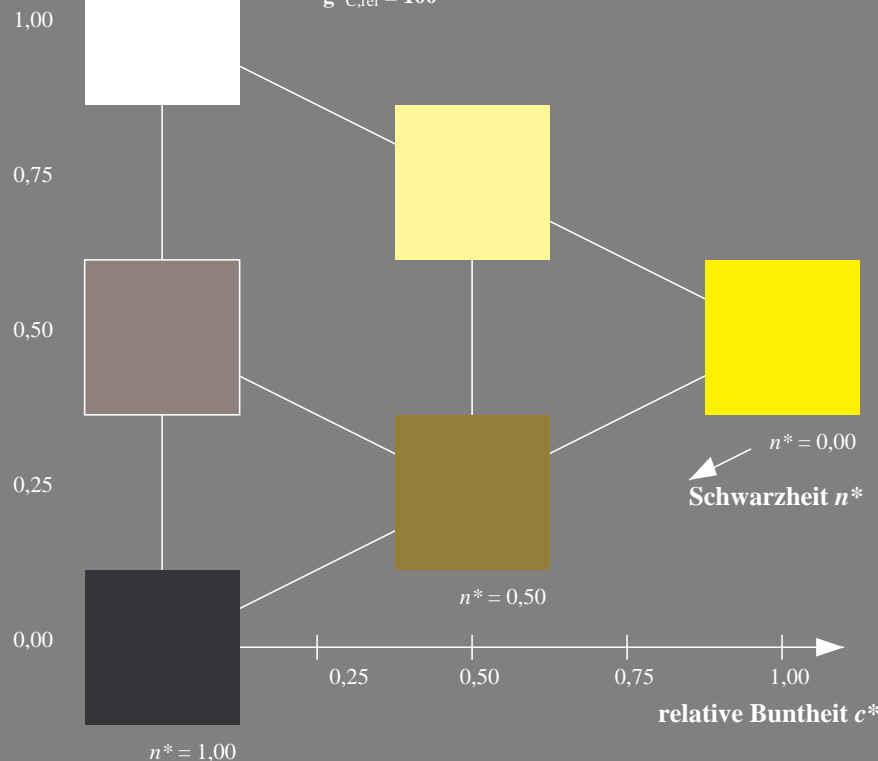
D65: Buntton Y  
LCH\*Ma: 90 92 96  
rgb\*Ma: 1.0 1.0 0.0

Dreiecks-Helligkeit  $t^*$



%Umfang  
 $u^*_{rel} = 93$   
%Regularität  
 $g^*_{H,rel} = 57$   
 $g^*_{C,rel} = 59$

ORS18; adaptierte CIELAB-Daten					
	$L^*=L^*_a$	$a^*_a$	$b^*_a$	$C^*_{ab,a}$	$h^*_{ab,a}$
RMa	47.94	65.37	50.52	82.62	38
JMa	90.37	-10.27	91.77	92.34	96
GMa	50.9	-62.79	34.95	71.87	151
G50BMa	58.62	-30.35	-45.01	54.3	236
BMa	25.71	31.11	-44.42	54.24	305
B50RMa	48.13	75.27	-8.35	75.73	354
NMa	18.01	0.0	0.0	0.0	0
WMa	95.41	0.0	0.0	0.0	0
RCIE	39.92	58.66	26.98	64.56	25
JCIE	81.26	-2.17	67.76	67.79	92
GCIE	52.23	-42.26	11.75	43.87	164
BCIE	30.57	1.15	-46.84	46.87	271



UG670-7, 3stufige Reihen für konstanten CIELAB Buntton 91/360 = 0.253 (links)

5stufige Reihen für konstanten CIELAB Buntton 96/360 = 0.268 (rechts)

BAM-Prüfvorlage UG67; Farbmetrik-Systeme NRS11 & ORS18input: *cmY0\* setcmykcolor*

D65: 3 und 5stufige Farbreihen für 10 Bunttöne

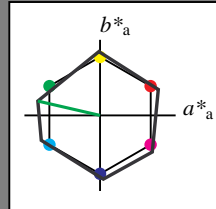
output: *no change compared to input*

### Eingabe: Farbmetrisches Reflexions-System NRS11

für Buntton  $h^* = lab^*h = 167/360 = 0.464$   
 $lab^*ich$  und  $lab^*nch$

D65: Buntton G  
LCH\*Ma: 53 84 167  
rgb\*Ma: 0.0 1.0 0.0

Dreiecks-Helligkeit  $t^*$



%Umfang  
 $u^*_{rel} = 119$   
%Regularität  
 $g^*_{H,rel} = 47$   
 $g^*_{C,rel} = 100$

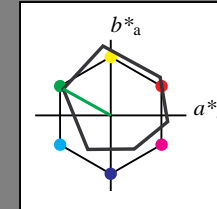
NRS11; adaptierte CIELAB-Daten					
	$L^*=L^*_a$	$a^*_a$	$b^*_a$	$C^*_{ab,a}$	$h^*_{ab,a}$
RMa	53.2	77.06	34.32	84.36	24
JMa	53.2	-1.51	84.38	84.39	91
GMa	53.2	-82.27	18.98	84.44	167
G50BMa	53.2	-77.72	-32.98	84.44	203
BMa	53.2	4.37	-84.28	84.41	273
B50RMa	53.2	69.09	-48.41	84.37	325
NMa	10.99	0.0	0.0	0.0	0
WMa	95.41	0.0	0.0	0.0	0
RCIE	39.92	58.69	27.98	65.01	25
JCIE	81.26	-2.9	71.56	71.62	92
GCIE	52.23	-42.45	13.59	44.59	162
BCIE	30.57	1.35	-46.48	46.51	272

### Ausgabe: Farbmetrisches Reflexions-System ORS18

für Buntton  $h^* = lab^*h = 151/360 = 0.419$   
 $lab^*ich$  und  $lab^*nch$

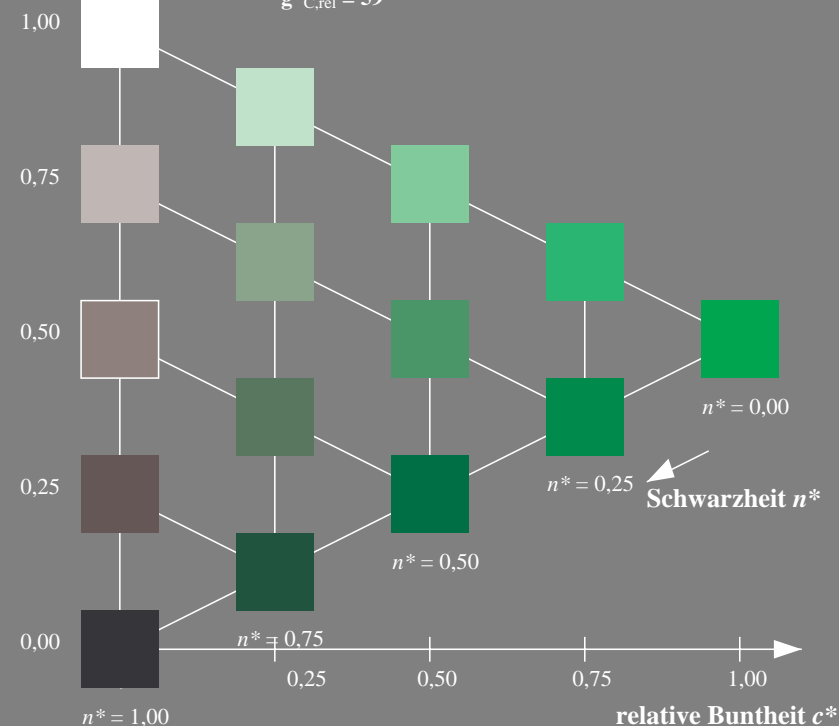
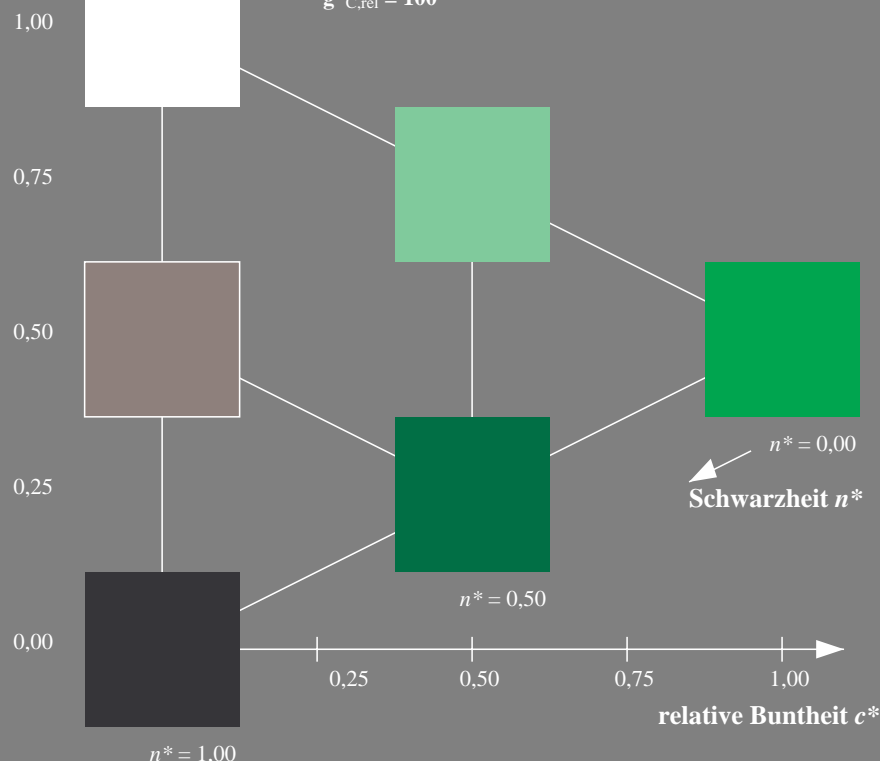
D65: Buntton L  
LCH\*Ma: 51 72 151  
rgb\*Ma: 0.0 1.0 0.0

Dreiecks-Helligkeit  $t^*$



%Umfang  
 $u^*_{rel} = 93$   
%Regularität  
 $g^*_{H,rel} = 57$   
 $g^*_{C,rel} = 59$

ORS18; adaptierte CIELAB-Daten					
	$L^*=L^*_a$	$a^*_a$	$b^*_a$	$C^*_{ab,a}$	$h^*_{ab,a}$
RMa	47.94	65.37	50.52	82.62	38
JMa	90.37	-10.27	91.77	92.34	96
GMa	50.9	-62.79	34.95	71.87	151
G50BMa	58.62	-30.35	-45.01	54.3	236
BMa	25.71	31.11	-44.42	54.24	305
B50RMa	48.13	75.27	-8.35	75.73	354
NMa	18.01	0.0	0.0	0.0	0
WMa	95.41	0.0	0.0	0.0	0
RCIE	39.92	58.66	26.98	64.56	25
JCIE	81.26	-2.17	67.76	67.79	92
GCIE	52.23	-42.26	11.75	43.87	164
BCIE	30.57	1.15	-46.84	46.87	271



UG670-7, 3stufige Reihen für konstanten CIELAB Buntton 167/360 = 0.464 (links)

5stufige Reihen für konstanten CIELAB Buntton 151/360 = 0.419 (rechts)

BAM-Prüfvorlage UG67; Farbmetrik-Systeme NRS11 & ORS18input: *cmY0\* setcmykcolor*

D65: 3 und 5stufige Farbreihen für 10 Bunttöne

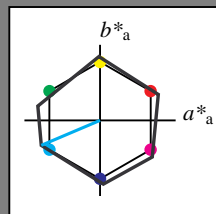
output: *no change compared to input*

### Eingabe: Farbmetrisches Reflexions-System NRS11

für Buntton  $h^* = lab^*h = 203/360 = 0.564$   
 $lab^*ich$  und  $lab^*nch$

D65: Buntton G50B  
LCH\*Ma: 53 84 203  
rgb\*Ma: 0.0 1.0 1.0

Dreiecks-Helligkeit  $t^*$



%Umfang  
 $u^*_{rel} = 119$   
%Regularität  
 $g^*_{H,rel} = 47$   
 $g^*_{C,rel} = 100$

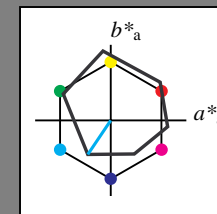
NRS11; adaptierte CIELAB-Daten					
	$L^*=L^*_a$	$a^*_a$	$b^*_a$	$C^*_{ab,a}$	$h^*_{ab,a}$
RMa	53.2	77.06	34.32	84.36	24
JMa	53.2	-1.51	84.38	84.39	91
GMa	53.2	-82.27	18.98	84.44	167
G50BMa	53.2	-77.72	-32.98	84.44	203
BMa	53.2	4.37	-84.28	84.41	273
B50RMa	53.2	69.09	-48.41	84.37	325
NMa	10.99	0.0	0.0	0.0	0
WMa	95.41	0.0	0.0	0.0	0
RCIE	39.92	58.69	27.98	65.01	25
JCIE	81.26	-2.9	71.56	71.62	92
GCIE	52.23	-42.45	13.59	44.59	162
BCIE	30.57	1.35	-46.48	46.51	272

### Ausgabe: Farbmetrisches Reflexions-System ORS18

für Buntton  $h^* = lab^*h = 236/360 = 0.656$   
 $lab^*ich$  und  $lab^*nch$

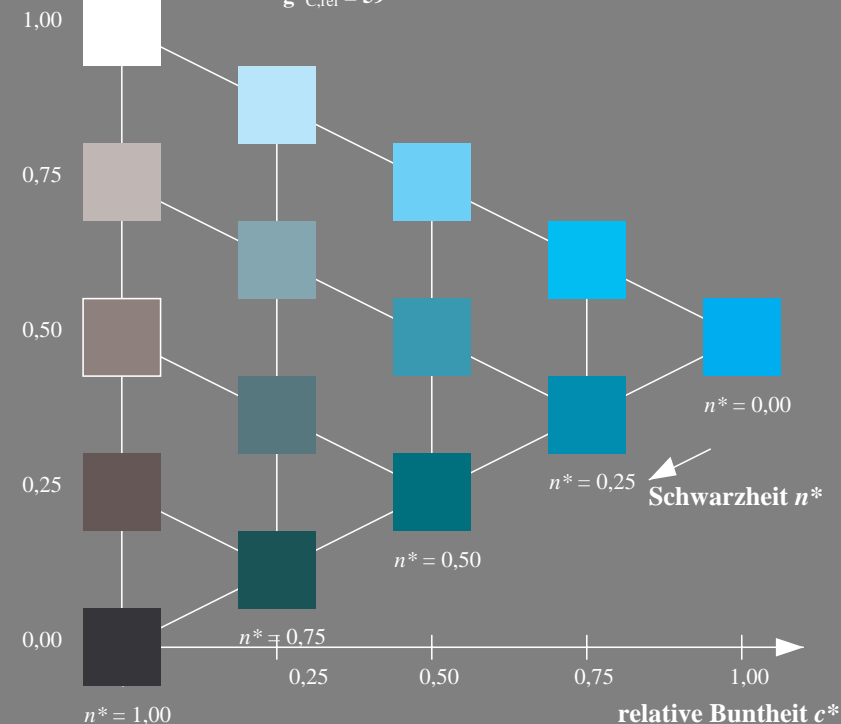
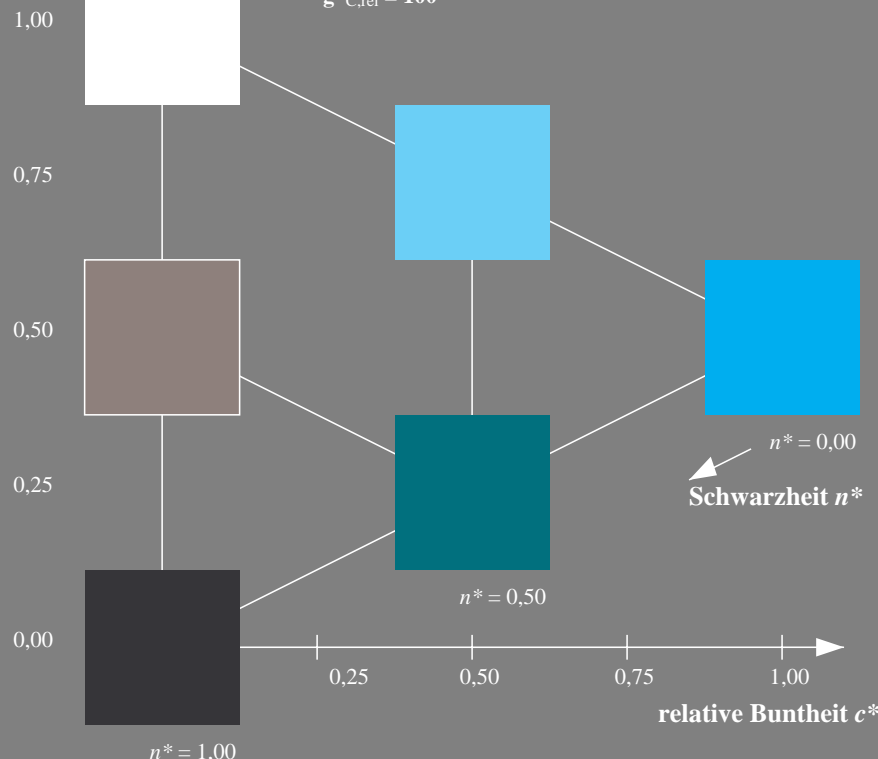
D65: Buntton C  
LCH\*Ma: 59 54 236  
rgb\*Ma: 0.0 1.0 1.0

Dreiecks-Helligkeit  $t^*$



%Umfang  
 $u^*_{rel} = 93$   
%Regularität  
 $g^*_{H,rel} = 57$   
 $g^*_{C,rel} = 59$

ORS18; adaptierte CIELAB-Daten					
	$L^*=L^*_a$	$a^*_a$	$b^*_a$	$C^*_{ab,a}$	$h^*_{ab,a}$
RMa	47.94	65.37	50.52	82.62	38
JMa	90.37	-10.27	91.77	92.34	96
GMa	50.9	-62.79	34.95	71.87	151
G50BMa	58.62	-30.35	-45.01	54.3	236
BMa	25.71	31.11	-44.42	54.24	305
B50RMa	48.13	75.27	-8.35	75.73	354
NMa	18.01	0.0	0.0	0.0	0
WMa	95.41	0.0	0.0	0.0	0
RCIE	39.92	58.66	26.98	64.56	25
JCIE	81.26	-2.17	67.76	67.79	92
GCIE	52.23	-42.26	11.75	43.87	164
BCIE	30.57	1.15	-46.84	46.87	271



UG670-7, 3stufige Reihen für konstanten CIELAB Buntton 203/360 = 0.564 (links)

5stufige Reihen für konstanten CIELAB Buntton 236/360 = 0.656 (rechts)

BAM-Prüfvorlage UG67; Farbmetrik-Systeme NRS11 & ORS18input: *cmY0\* setcmykcolor*

D65: 3 und 5stufige Farbreihen für 10 Bunttöne

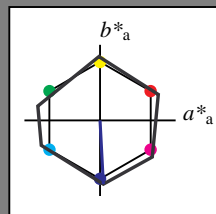
output: *no change compared to input*

### Eingabe: Farbmetrisches Reflexions-System NRS11

für Buntton  $h^* = lab^*h = 273/360 = 0.758$   
 $lab^*ich$  und  $lab^*nch$

D65: Buntton B  
LCH\*Ma: 53 84 273  
rgb\*Ma: 0.0 0.0 1.0

Dreiecks-Helligkeit  $t^*$



%Umfang  
 $u^*_{rel} = 119$   
%Regularität  
 $g^*_{H,rel} = 47$   
 $g^*_{C,rel} = 100$

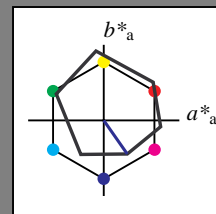
NRS11; adaptierte CIELAB-Daten					
	$L^*=L^*_a$	$a^*_a$	$b^*_a$	$C^*_{ab,a}$	$h^*_{ab,a}$
RMa	53.2	77.06	34.32	84.36	24
JMa	53.2	-1.51	84.38	84.39	91
GMa	53.2	-82.27	18.98	84.44	167
G50BMa	53.2	-77.72	-32.98	84.44	203
BMa	53.2	4.37	-84.28	84.41	273
B50RMa	53.2	69.09	-48.41	84.37	325
NMa	10.99	0.0	0.0	0.0	0
WMa	95.41	0.0	0.0	0.0	0
RCIE	39.92	58.69	27.98	65.01	25
JCIE	81.26	-2.9	71.56	71.62	92
GCIE	52.23	-42.45	13.59	44.59	162
BCIE	30.57	1.35	-46.48	46.51	272

### Ausgabe: Farbmetrisches Reflexions-System ORS18

für Buntton  $h^* = lab^*h = 305/360 = 0.847$   
 $lab^*ich$  und  $lab^*nch$

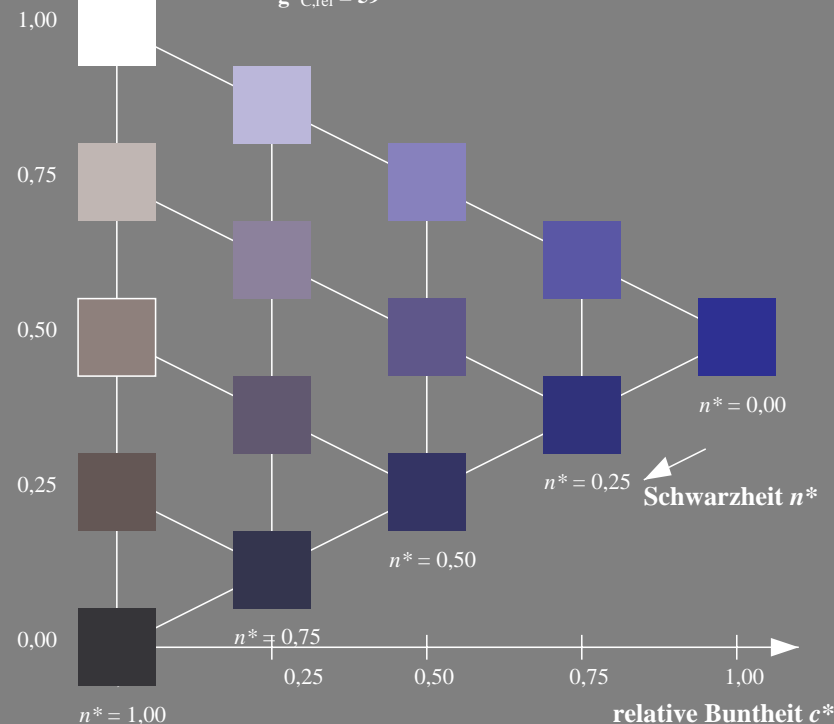
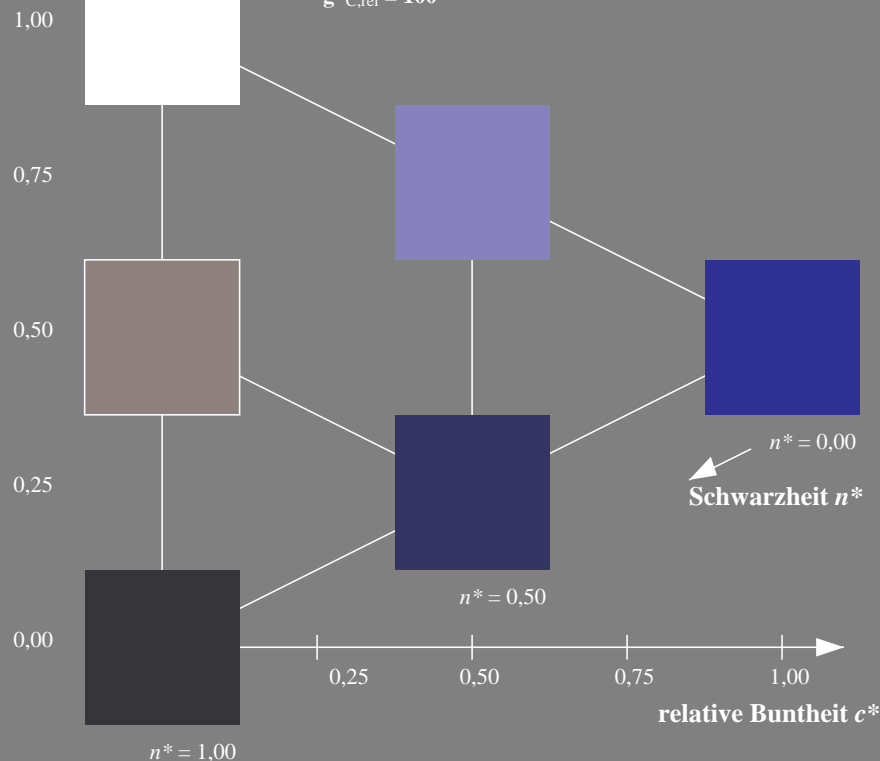
D65: Buntton V  
LCH\*Ma: 26 54 305  
rgb\*Ma: 0.0 0.0 1.0

Dreiecks-Helligkeit  $t^*$



%Umfang  
 $u^*_{rel} = 93$   
%Regularität  
 $g^*_{H,rel} = 57$   
 $g^*_{C,rel} = 59$

ORS18; adaptierte CIELAB-Daten					
	$L^*=L^*_a$	$a^*_a$	$b^*_a$	$C^*_{ab,a}$	$h^*_{ab,a}$
RMa	47.94	65.37	50.52	82.62	38
JMa	90.37	-10.27	91.77	92.34	96
GMa	50.9	-62.79	34.95	71.87	151
G50BMa	58.62	-30.35	-45.01	54.3	236
BMa	25.71	31.11	-44.42	54.24	305
B50RMa	48.13	75.27	-8.35	75.73	354
NMa	18.01	0.0	0.0	0.0	0
WMa	95.41	0.0	0.0	0.0	0
RCIE	39.92	58.66	26.98	64.56	25
JCIE	81.26	-2.17	67.76	67.79	92
GCIE	52.23	-42.26	11.75	43.87	164
BCIE	30.57	1.15	-46.84	46.87	271



UG670-7, 3stufige Reihen für konstanten CIELAB Buntton 273/360 = 0.758 (links)

5stufige Reihen für konstanten CIELAB Buntton 305/360 = 0.847 (rechts)

BAM-Prüfvorlage UG67; Farbmetrik-Systeme NRS11 & ORS18input: *cmY0\* setcmykcolor*

D65: 3 und 5stufige Farbreihen für 10 Bunttöne

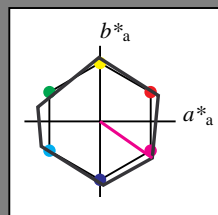
output: *no change compared to input*

### Eingabe: Farbmetrisches Reflexions-System NRS11

für Buntton  $h^* = lab^*h = 325/360 = 0.903$   
 $lab^*ich$  und  $lab^*nch$

D65: Buntton B50R  
LCH\*Ma: 53 84 325  
rgb\*Ma: 1.0 0.0 1.0

Dreiecks-Helligkeit  $t^*$



%Umfang  
 $u^*_{rel} = 119$   
%Regularität  
 $g^*_{H,rel} = 47$   
 $g^*_{C,rel} = 100$

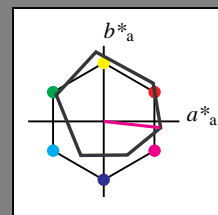
NRS11; adaptierte CIELAB-Daten					
	$L^*=L^*_a$	$a^*_a$	$b^*_a$	$C^*_{ab,a}$	$h^*_{ab,a}$
RMa	53.2	77.06	34.32	84.36	24
JMa	53.2	-1.51	84.38	84.39	91
GMa	53.2	-82.27	18.98	84.44	167
G50BMa	53.2	-77.72	-32.98	84.44	203
BMa	53.2	4.37	-84.28	84.41	273
B50RMa	53.2	69.09	-48.41	84.37	325
NMa	10.99	0.0	0.0	0.0	0
WMa	95.41	0.0	0.0	0.0	0
RCIE	39.92	58.69	27.98	65.01	25
JCIE	81.26	-2.9	71.56	71.62	92
GCIE	52.23	-42.45	13.59	44.59	162
BCIE	30.57	1.35	-46.48	46.51	272

### Ausgabe: Farbmetrisches Reflexions-System ORS18

für Buntton  $h^* = lab^*h = 354/360 = 0.982$   
 $lab^*ich$  und  $lab^*nch$

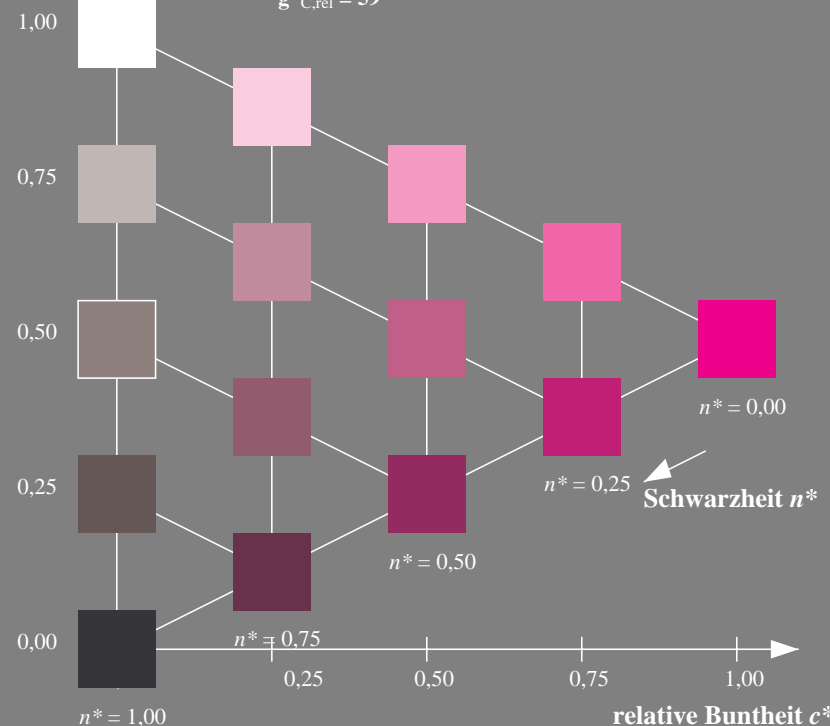
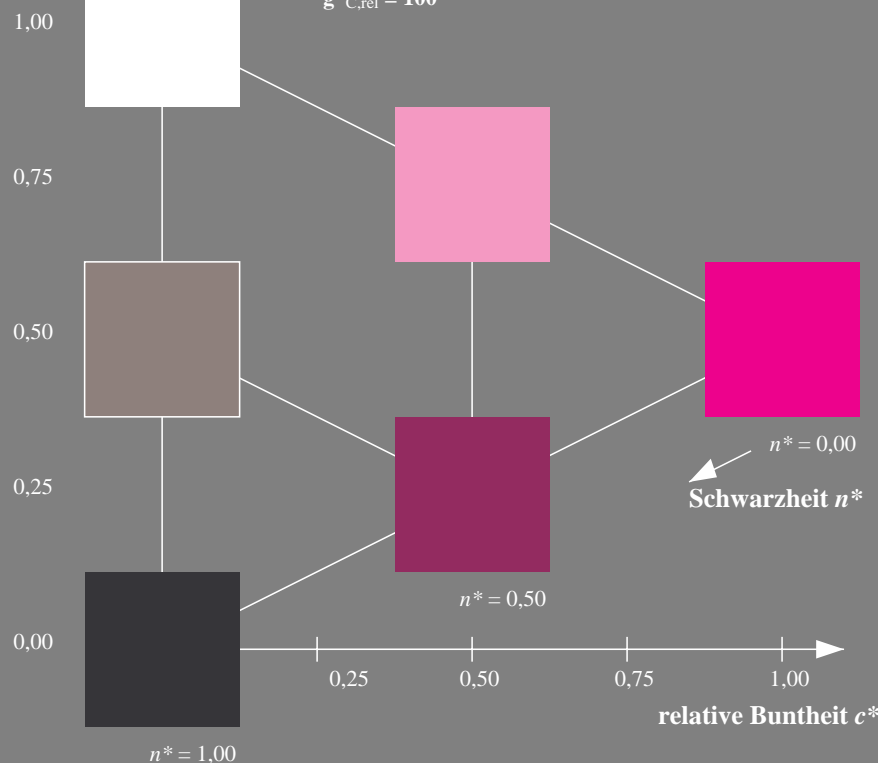
D65: Buntton M  
LCH\*Ma: 48 76 354  
rgb\*Ma: 1.0 0.0 1.0

Dreiecks-Helligkeit  $t^*$



%Umfang  
 $u^*_{rel} = 93$   
%Regularität  
 $g^*_{H,rel} = 57$   
 $g^*_{C,rel} = 59$

ORS18; adaptierte CIELAB-Daten					
	$L^*=L^*_a$	$a^*_a$	$b^*_a$	$C^*_{ab,a}$	$h^*_{ab,a}$
RMa	47.94	65.37	50.52	82.62	38
JMa	90.37	-10.27	91.77	92.34	96
GMa	50.9	-62.79	34.95	71.87	151
G50BMa	58.62	-30.35	-45.01	54.3	236
BMa	25.71	31.11	-44.42	54.24	305
B50RMa	48.13	75.27	-8.35	75.73	354
NMa	18.01	0.0	0.0	0.0	0
WMa	95.41	0.0	0.0	0.0	0
RCIE	39.92	58.66	26.98	64.56	25
JCIE	81.26	-2.17	67.76	67.79	92
GCIE	52.23	-42.26	11.75	43.87	164
BCIE	30.57	1.15	-46.84	46.87	271



UG670-7, 3stufige Reihen für konstanten CIELAB Buntton 325/360 = 0.903 (links)

5stufige Reihen für konstanten CIELAB Buntton 354/360 = 0.982 (rechts)

BAM-Prüfvorlage UG67; Farbmetrik-Systeme NRS11 & ORS18  
input:  $cmy0^*$   $setcmykcolor$   
D65: 3 und 5stufige Farbreihen für 10 Bunttöne

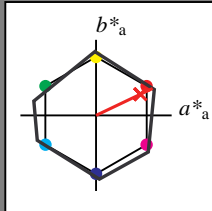
output: no change compared to input

### Eingabe: Farbmetrisches Reflexions-System NRS11

für Buntton  $h^* = lab^*h = 25/360 = 0.071$   
 $lab^*ich$  und  $lab^*nch$

D65: Buntton R  
LCH\*Ma: 53 83 25  
rgb\*Ma: 1.0 0.03 0.0

Dreiecks-Helligkeit  $t^*$



%Umfang  
 $u^*_{rel} = 119$   
%Regularität  
 $g^*_{H,rel} = 47$   
 $g^*_{C,rel} = 100$

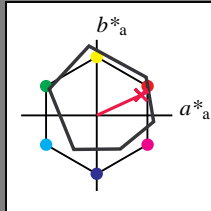
NRS11; adaptierte CIELAB-Daten					
	$L^*=L^*_a$	$a^*_a$	$b^*_a$	$C^*_{ab,a}$	$h^*_{ab,a}$
RMa	53.2	77.06	34.32	84.36	24
JMa	53.2	-1.51	84.38	84.39	91
GMa	53.2	-82.27	18.98	84.44	167
G50BMa	53.2	-77.72	-32.98	84.44	203
BMa	53.2	4.37	-84.28	84.41	273
B50RMa	53.2	69.09	-48.41	84.37	325
NMa	10.99	0.0	0.0	0.0	0
WMa	95.41	0.0	0.0	0.0	0
RCIE	39.92	58.69	27.98	65.01	25
JCIE	81.26	-2.9	71.56	71.62	92
GCIE	52.23	-42.45	13.59	44.59	162
BCIE	30.57	1.35	-46.48	46.51	272

### Ausgabe: Farbmetrisches Reflexions-System ORS18

für Buntton  $h^* = lab^*h = 25/360 = 0.069$   
 $lab^*ich$  und  $lab^*nch$

D65: Buntton R  
LCH\*Ma: 48 75 25  
rgb\*Ma: 1.0 0.0 0.32

Dreiecks-Helligkeit  $t^*$



%Umfang  
 $u^*_{rel} = 93$   
%Regularität  
 $g^*_{H,rel} = 57$   
 $g^*_{C,rel} = 59$

ORS18; adaptierte CIELAB-Daten					
	$L^*=L^*_a$	$a^*_a$	$b^*_a$	$C^*_{ab,a}$	$h^*_{ab,a}$
RMa	47.94	65.37	50.52	82.62	38
JMa	90.37	-10.27	91.77	92.34	96
GMa	50.9	-62.79	34.95	71.87	151
G50BMa	58.62	-30.35	-45.01	54.3	236
BMa	25.71	31.11	-44.42	54.24	305
B50RMa	48.13	75.27	-8.35	75.73	354
NMa	18.01	0.0	0.0	0.0	0
WMa	95.41	0.0	0.0	0.0	0
RCIE	39.92	58.66	26.98	64.56	25
JCIE	81.26	-2.17	67.76	67.79	92
GCIE	52.23	-42.26	11.75	43.87	164
BCIE	30.57	1.15	-46.84	46.87	271

1,00

0,75

0,50

0,25

0,00

$n^* = 1,00$

0,25

$n^* = 0,50$

relative Buntheit  $c^*$

$n^* = 0,00$

Schwarzheit  $n^*$

1,00

0,75

0,50

0,25

0,00

$n^* = 1,00$

$n^* = 0,75$

$n^* = 0,50$

$n^* = 0,25$

$n^* = 0,00$

Schwarzheit  $n^*$

relative Buntheit  $c^*$

UG670-7, 3stufige Reihen für konstanten CIELAB Buntton 25/360 = 0.071 (links)

5stufige Reihen für konstanten CIELAB Buntton 25/360 = 0.069 (rechts)

BAM-Prüfvorlage UG67; Farbmetrik-Systeme NRS11 & ORS18input: *cmY0\* setcmykcolor*

D65: 3 und 5stufige Farbreihen für 10 Bunttöne

output: *no change compared to input*

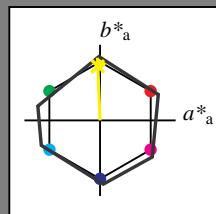


### Eingabe: Farbmetrisches Reflexions-System NRS11

für Buntton  $h^* = lab^*h = 92/360 = 0.256$   
 $lab^*ich$  und  $lab^*nch$

D65: Buntton J  
LCH\*Ma: 53 83 92  
rgb\*Ma: 0.98 1.0 0.0

Dreiecks-Helligkeit  $t^*$



%Umfang  
 $u^*_{rel} = 119$   
%Regularität  
 $g^*_{H,rel} = 47$   
 $g^*_{C,rel} = 100$

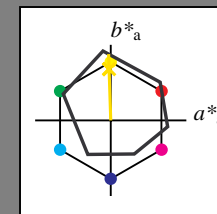
NRS11; adaptierte CIELAB-Daten					
	$L^*=L^*_a$	$a^*_a$	$b^*_a$	$C^*_{ab,a}$	$h^*_{ab,a}$
RMa	53.2	77.06	34.32	84.36	24
JMa	53.2	-1.51	84.38	84.39	91
GMa	53.2	-82.27	18.98	84.44	167
G50BMa	53.2	-77.72	-32.98	84.44	203
BMa	53.2	4.37	-84.28	84.41	273
B50RMa	53.2	69.09	-48.41	84.37	325
NMa	10.99	0.0	0.0	0.0	0
WMa	95.41	0.0	0.0	0.0	0
RCIE	39.92	58.69	27.98	65.01	25
JCIE	81.26	-2.9	71.56	71.62	92
GCIE	52.23	-42.45	13.59	44.59	162
BCIE	30.57	1.35	-46.48	46.51	272

### Ausgabe: Farbmetrisches Reflexions-System ORS18

für Buntton  $h^* = lab^*h = 92/360 = 0.255$   
 $lab^*ich$  und  $lab^*nch$

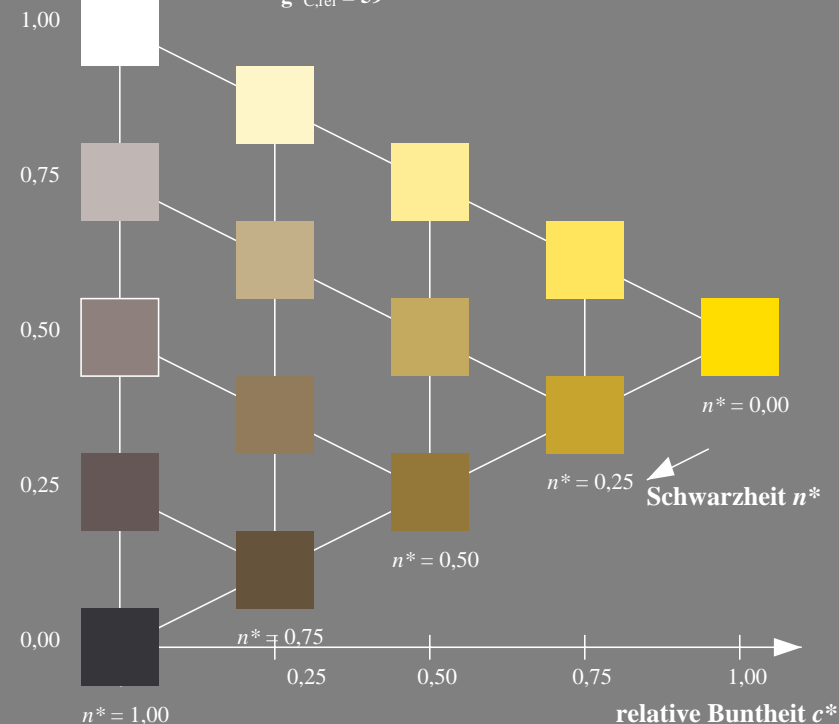
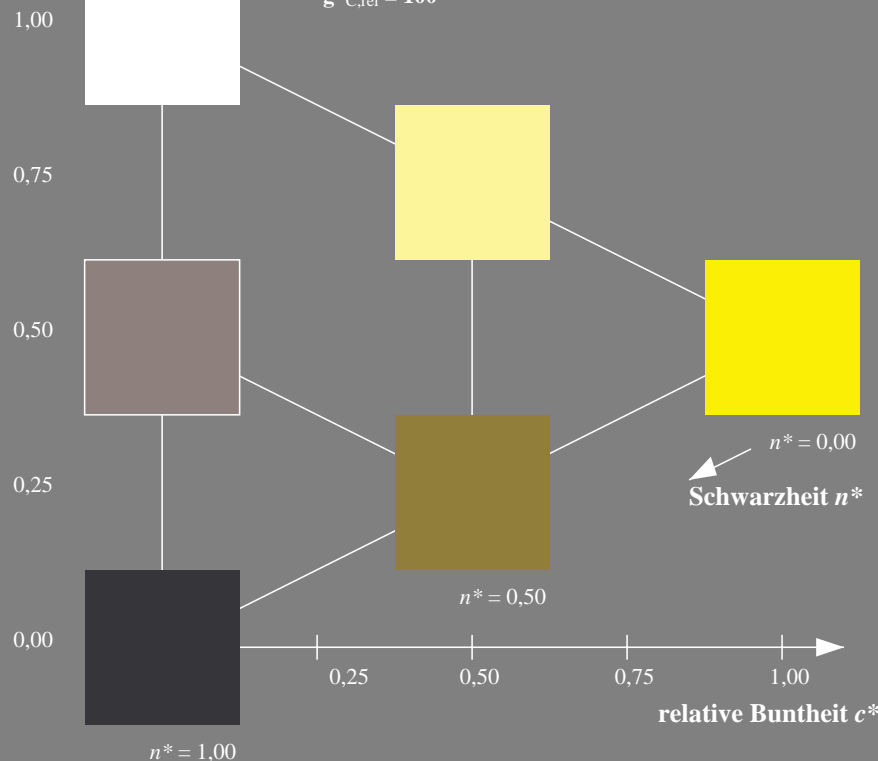
D65: Buntton J  
LCH\*Ma: 86 88 92  
rgb\*Ma: 1.0 0.9 0.0

Dreiecks-Helligkeit  $t^*$



%Umfang  
 $u^*_{rel} = 93$   
%Regularität  
 $g^*_{H,rel} = 57$   
 $g^*_{C,rel} = 59$

ORS18; adaptierte CIELAB-Daten					
	$L^*=L^*_a$	$a^*_a$	$b^*_a$	$C^*_{ab,a}$	$h^*_{ab,a}$
RMa	47.94	65.37	50.52	82.62	38
JMa	90.37	-10.27	91.77	92.34	96
GMa	50.9	-62.79	34.95	71.87	151
G50BMa	58.62	-30.35	-45.01	54.3	236
BMa	25.71	31.11	-44.42	54.24	305
B50RMa	48.13	75.27	-8.35	75.73	354
NMa	18.01	0.0	0.0	0.0	0
WMa	95.41	0.0	0.0	0.0	0
RCIE	39.92	58.66	26.98	64.56	25
JCIE	81.26	-2.17	67.76	67.79	92
GCIE	52.23	-42.26	11.75	43.87	164
BCIE	30.57	1.15	-46.84	46.87	271



UG670-7, 3stufige Reihen für konstanten CIELAB Buntton 92/360 = 0.256 (links)

5stufige Reihen für konstanten CIELAB Buntton 92/360 = 0.255 (rechts)

BAM-Prüfvorlage UG67; Farbmetrik-Systeme NRS11 & ORS18input: *cmY0\* setcmykcolor*

D65: 3 und 5stufige Farbreihen für 10 Bunttöne

output: *no change compared to input*

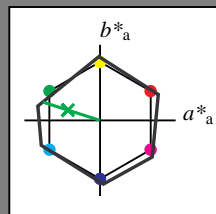


### Eingabe: Farbmetrisches Reflexions-System NRS11

für Buntton  $h^* = lab^*h = 162/360 = 0.451$   
 $lab^*ich$  und  $lab^*nch$

D65: Buntton G  
LCH\*Ma: 53 80 162  
rgb\*Ma: 0.08 1.0 0.0

Dreiecks-Helligkeit  $t^*$



%Umfang  
 $u^*_{rel} = 119$   
%Regularität  
 $g^*_{H,rel} = 47$   
 $g^*_{C,rel} = 100$

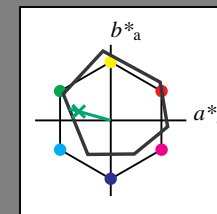
NRS11; adaptierte CIELAB-Daten					
	$L^*=L^*_a$	$a^*_a$	$b^*_a$	$C^*_{ab,a}$	$h^*_{ab,a}$
RMa	53.2	77.06	34.32	84.36	24
JMa	53.2	-1.51	84.38	84.39	91
GMa	53.2	-82.27	18.98	84.44	167
G50BMa	53.2	-77.72	-32.98	84.44	203
BMa	53.2	4.37	-84.28	84.41	273
B50RMa	53.2	69.09	-48.41	84.37	325
NMa	10.99	0.0	0.0	0.0	0
WMa	95.41	0.0	0.0	0.0	0
RCIE	39.92	58.69	27.98	65.01	25
JCIE	81.26	-2.9	71.56	71.62	92
GCIE	52.23	-42.45	13.59	44.59	162
BCIE	30.57	1.35	-46.48	46.51	272

### Ausgabe: Farbmetrisches Reflexions-System ORS18

für Buntton  $h^* = lab^*h = 164/360 = 0.457$   
 $lab^*ich$  und  $lab^*nch$

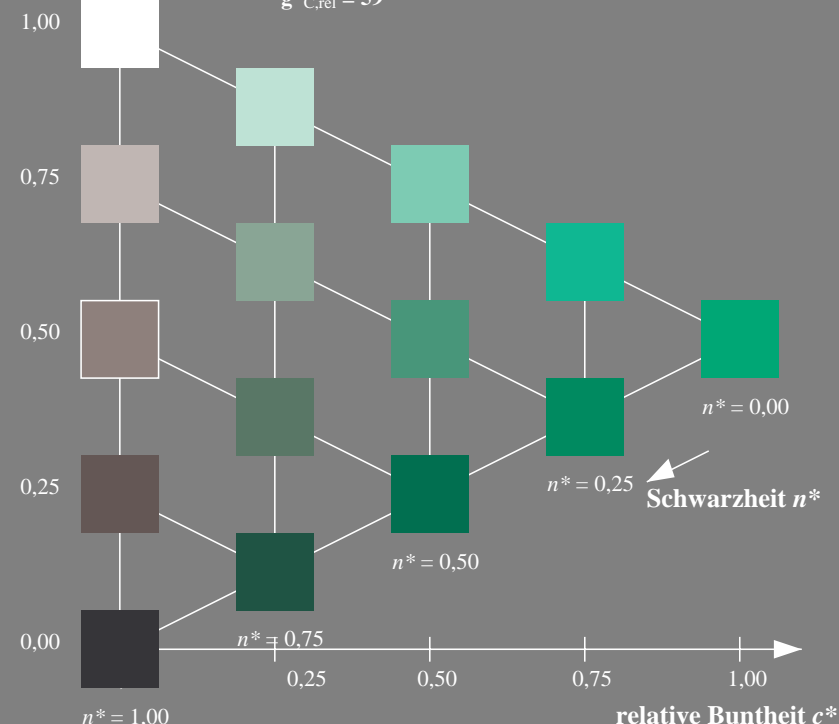
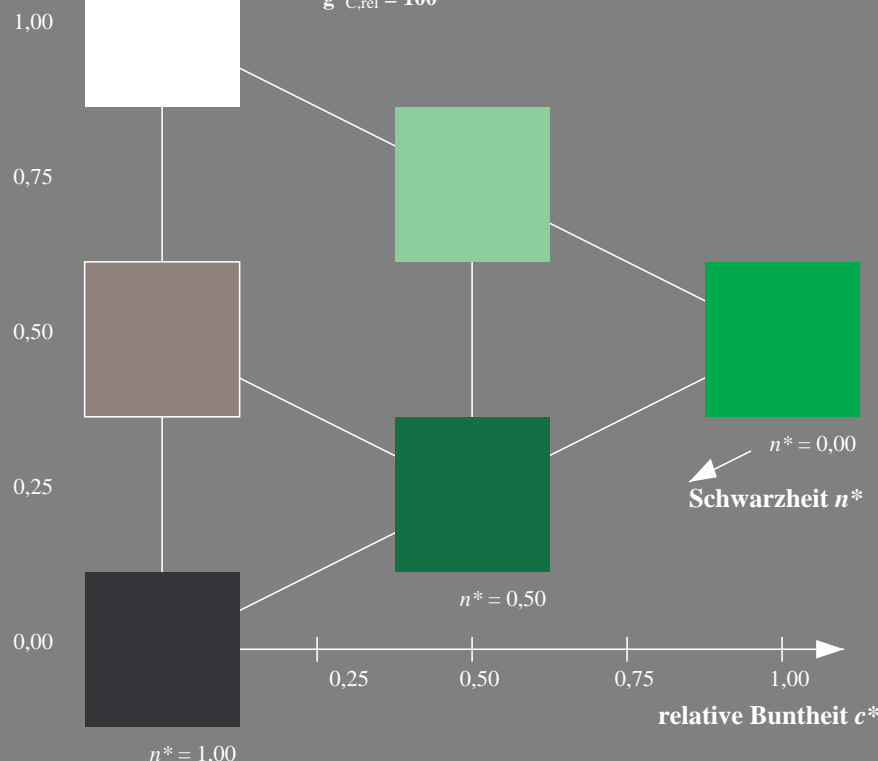
D65: Buntton G  
LCH\*Ma: 53 57 164  
rgb\*Ma: 0.0 1.0 0.25

Dreiecks-Helligkeit  $t^*$



%Umfang  
 $u^*_{rel} = 93$   
%Regularität  
 $g^*_{H,rel} = 57$   
 $g^*_{C,rel} = 59$

ORS18; adaptierte CIELAB-Daten					
	$L^*=L^*_a$	$a^*_a$	$b^*_a$	$C^*_{ab,a}$	$h^*_{ab,a}$
RMa	47.94	65.37	50.52	82.62	38
JMa	90.37	-10.27	91.77	92.34	96
GMa	50.9	-62.79	34.95	71.87	151
G50BMa	58.62	-30.35	-45.01	54.3	236
BMa	25.71	31.11	-44.42	54.24	305
B50RMa	48.13	75.27	-8.35	75.73	354
NMa	18.01	0.0	0.0	0.0	0
WMa	95.41	0.0	0.0	0.0	0
RCIE	39.92	58.66	26.98	64.56	25
JCIE	81.26	-2.17	67.76	67.79	92
GCIE	52.23	-42.26	11.75	43.87	164
BCIE	30.57	1.15	-46.84	46.87	271



UG670-7, 3stufige Reihen für konstanten CIELAB Buntton 162/360 = 0.451 (links)

5stufige Reihen für konstanten CIELAB Buntton 164/360 = 0.457 (rechts)

BAM-Prüfvorlage UG67; Farbmetrik-Systeme NRS11 & ORS18input: cmy0\* setcmykcolor

D65: 3 und 5stufige Farbreihen für 10 Bunttöne

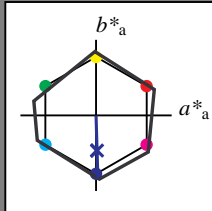
output: no change compared to input

### Eingabe: Farbmetrisches Reflexions-System NRS11

für Buntton  $h^* = lab^*h = 272/360 = 0.755$   
 $lab^*ich$  und  $lab^*nch$

D65: Buntton B  
LCH\*Ma: 53 83 272  
rgb\*Ma: 0.0 0.02 1.0

Dreiecks-Helligkeit  $t^*$



%Umfang  
 $u^*_{rel} = 119$   
%Regularität  
 $g^*_{H,rel} = 47$   
 $g^*_{C,rel} = 100$

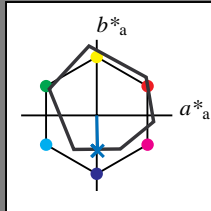
NRS11; adaptierte CIELAB-Daten					
	$L^*=L^*_a$	$a^*_a$	$b^*_a$	$C^*_{ab,a}$	$h^*_{ab,a}$
RMa	53.2	77.06	34.32	84.36	24
JMa	53.2	-1.51	84.38	84.39	91
GMa	53.2	-82.27	18.98	84.44	167
G50BMa	53.2	-77.72	-32.98	84.44	203
BMa	53.2	4.37	-84.28	84.41	273
B50RMa	53.2	69.09	-48.41	84.37	325
NMa	10.99	0.0	0.0	0.0	0
WMa	95.41	0.0	0.0	0.0	0
RCIE	39.92	58.69	27.98	65.01	25
JCIE	81.26	-2.9	71.56	71.62	92
GCIE	52.23	-42.45	13.59	44.59	162
BCIE	30.57	1.35	-46.48	46.51	272

### Ausgabe: Farbmetrisches Reflexions-System ORS18

für Buntton  $h^* = lab^*h = 271/360 = 0.754$   
 $lab^*ich$  und  $lab^*nch$

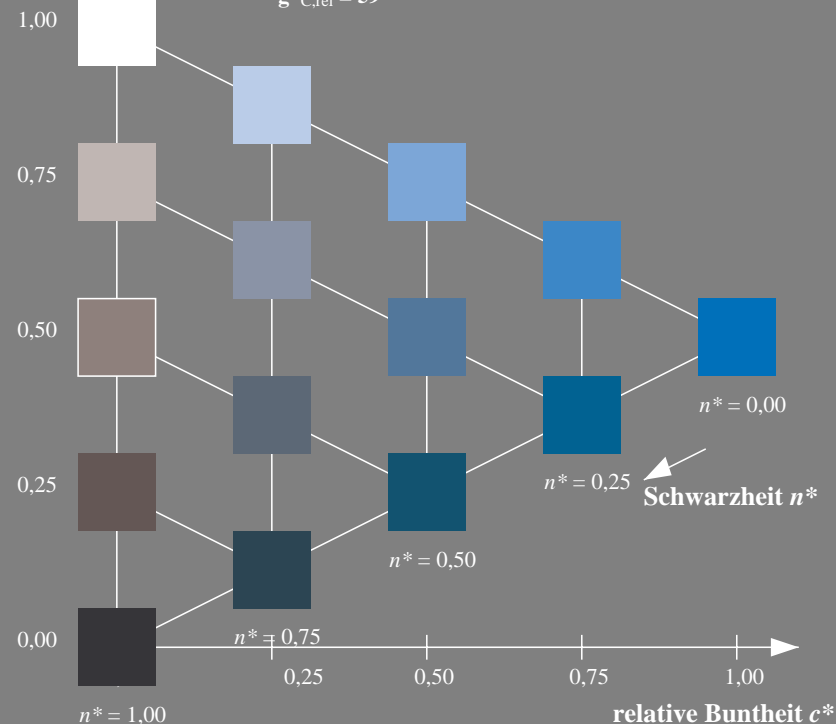
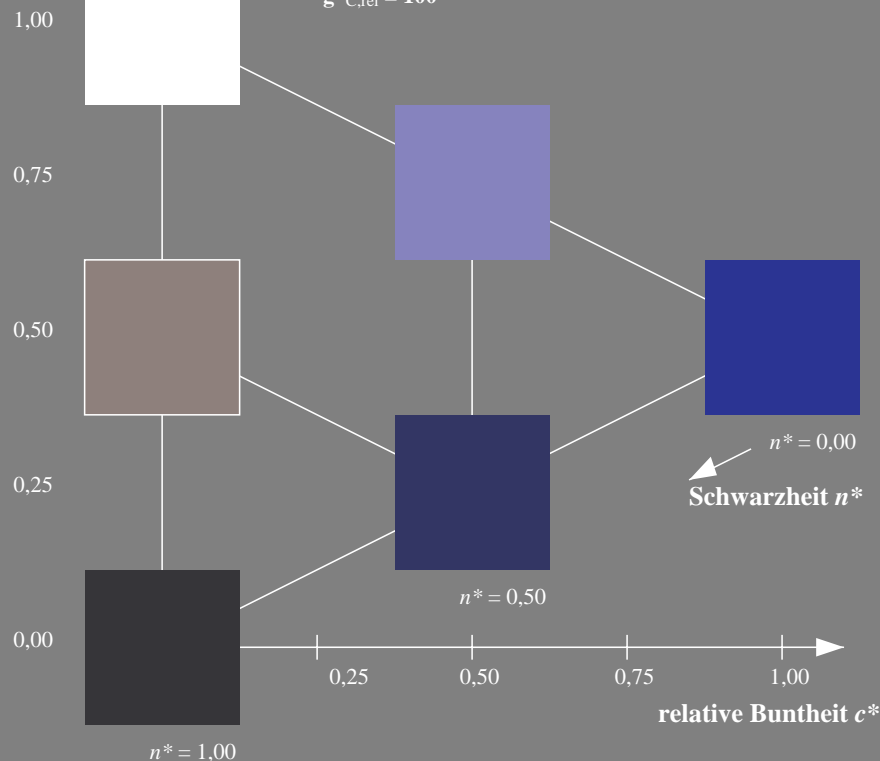
D65: Buntton B  
LCH\*Ma: 42 45 271  
rgb\*Ma: 0.0 0.49 1.0

Dreiecks-Helligkeit  $t^*$



%Umfang  
 $u^*_{rel} = 93$   
%Regularität  
 $g^*_{H,rel} = 57$   
 $g^*_{C,rel} = 59$

ORS18; adaptierte CIELAB-Daten					
	$L^*=L^*_a$	$a^*_a$	$b^*_a$	$C^*_{ab,a}$	$h^*_{ab,a}$
RMa	47.94	65.37	50.52	82.62	38
JMa	90.37	-10.27	91.77	92.34	96
GMa	50.9	-62.79	34.95	71.87	151
G50BMa	58.62	-30.35	-45.01	54.3	236
BMa	25.71	31.11	-44.42	54.24	305
B50RMa	48.13	75.27	-8.35	75.73	354
NMa	18.01	0.0	0.0	0.0	0
WMa	95.41	0.0	0.0	0.0	0
RCIE	39.92	58.66	26.98	64.56	25
JCIE	81.26	-2.17	67.76	67.79	92
GCIE	52.23	-42.26	11.75	43.87	164
BCIE	30.57	1.15	-46.84	46.87	271



UG670-7, 3stufige Reihen für konstanten CIELAB Buntton 272/360 = 0.755 (links)

5stufige Reihen für konstanten CIELAB Buntton 271/360 = 0.754 (rechts)

BAM-Prüfvorlage UG67; Farbmetrik-Systeme NRS11 & ORS18input: *cmY0\* setcmykcolor*

D65: 3 und 5stufige Farbreihen für 10 Bunttöne

output: *no change compared to input*